

## CoMoS<sub>x</sub>/γ-Al<sub>2</sub>O<sub>3</sub> 催化剂在还原脱硫中的吸附性能和催化活性

刘哲男<sup>1</sup> 耿云峰<sup>2</sup> 石泉<sup>1</sup> 黎汉生<sup>\*,1</sup> 史大昕<sup>1</sup>

吴芹<sup>1</sup> 赵芸<sup>1</sup> 冯彩虹<sup>1</sup> 矫庆泽<sup>1,3</sup>

(<sup>1</sup> 北京理工大学化学与化工学院,北京 100081)

(<sup>2</sup> 北京北大先锋科技有限公司,北京 100080)

(<sup>3</sup> 北京理工大学珠海学院化工与材料学院,珠海 519085)

**摘要:** 以等体积浸渍法与原位还原硫化法相结合制备了 CoMoS<sub>x</sub>/γ-Al<sub>2</sub>O<sub>3</sub> 催化剂。采用 X 射线衍射(XRD)、扫描电子显微镜/能谱(SEM/EDS)、X 射线光电子能谱(XPS)、程序升温脱附/程序升温还原/程序升温表面反应-质谱分析(TPD/TPR/TPSR-MS)对催化剂进行了表征,系统地研究了 CoMoS<sub>x</sub>/γ-Al<sub>2</sub>O<sub>3</sub> 催化剂的结构、表面 CO 和 SO<sub>2</sub> 的吸附-脱附行为及其表面反应特性。采用微型固定床反应器评价了 CoMoS<sub>x</sub>/γ-Al<sub>2</sub>O<sub>3</sub> 催化剂的催化特性。研究表明,CoMoS<sub>x</sub>/γ-Al<sub>2</sub>O<sub>3</sub> 催化剂由 γ-Al<sub>2</sub>O<sub>3</sub> 和高分散的 Co-Mo-S 组成,预硫化过程中不会出现 CoS<sub>2</sub> 和 Co<sub>9</sub>S<sub>8</sub> 等硫化物。γ-Al<sub>2</sub>O<sub>3</sub> 几乎不会吸附 CO,CoMoS<sub>x</sub> 对 CO 具有强吸附作用;而 γ-Al<sub>2</sub>O<sub>3</sub> 和 CoMoS<sub>x</sub> 都可以吸附 SO<sub>2</sub>,但 γ-Al<sub>2</sub>O<sub>3</sub> 的吸附作用较弱,CoMoS<sub>x</sub> 的吸附作用较强。在 γ-Al<sub>2</sub>O<sub>3</sub> 上会吸附微量的 COS,而 CoMoS<sub>x</sub> 不会吸附 COS。在 SO<sub>2</sub> 与 CO 的表面反应中,吸附在 CoMoS<sub>x</sub> 上的 SO<sub>2</sub> 会与 CO 发生反应,而吸附在 γ-Al<sub>2</sub>O<sub>3</sub> 上的 SO<sub>2</sub> 不会发生反应。在 400 ℃时,SO<sub>2</sub> 的转化率和硫单质的选择性都接近 100%。

**关键词:** 还原脱硫;一氧化碳;二氧化硫;钴;钼;氧化铝;吸附

中图分类号: O647 文献标识码: A 文章编号: 1001-4861(2019)01-0034-09

DOI: 10.11862/CJIC.2019.004

## Adsorption Properties and Catalytic Activity of CoMoS<sub>x</sub>/γ-Al<sub>2</sub>O<sub>3</sub> Catalysts in Reduction Desulfurization

LIU Zhe-Nan<sup>1</sup> GENG Yun-Feng<sup>2</sup> SHI Quan<sup>1</sup> LI Han-Sheng<sup>\*,1</sup> SHI Da-Xin<sup>1</sup>

WU Qin<sup>1</sup> ZHAO Yun<sup>1</sup> FENG Cai-Hong<sup>1</sup> JIAO Qing-Ze<sup>1,3</sup>

(<sup>1</sup>School of Chemistry and Chemical Engineering, Beijing Institute of Technology, Beijing 100081, China)

(<sup>2</sup>Beijing Peking University Pioneer Technology Co., Ltd, Beijing 100080, China)

(<sup>3</sup>School of Chemical Engineering and Materials Science, Beijing Institute of Technology, Zhuhai, Guangdong 519085, China)

**Abstract:** CoMoS<sub>x</sub>/γ-Al<sub>2</sub>O<sub>3</sub> catalyst was prepared by using an impregnation method combining with in-situ reduction method. In order to systematically obtain the structure of the CoMoS<sub>x</sub>/γ-Al<sub>2</sub>O<sub>3</sub> catalyst and study the adsorption-desorption performance and the surface reactions of CO and SO<sub>2</sub>, the catalyst was characterized using X-ray diffraction (XRD), scanning electron microscope/energy dispersive spectrometer (SEM/EDS), X-ray photoelectron spectroscopy (XPS), temperature programmed desorption/programmed temperature reduction/temperature programmed surface reaction-mass spectrometry (TPD/TPR/TPSR-MS). The catalytic performances of the CoMoS<sub>x</sub>/γ-Al<sub>2</sub>O<sub>3</sub> catalyst were tested in a packed-bed microreactor. The results show that the CoMoS<sub>x</sub>/γ-Al<sub>2</sub>O<sub>3</sub> catalyst was composed of γ-Al<sub>2</sub>O<sub>3</sub> and highly dispersed Co-Mo-S. During the pre-vulcanization, no sulfides such as CoS<sub>2</sub> and Co<sub>9</sub>S<sub>8</sub> were formed. CO was adsorbed on CoMoS<sub>x</sub> instead of γ-Al<sub>2</sub>O<sub>3</sub>. SO<sub>2</sub> was weakly adsorbed on γ-Al<sub>2</sub>O<sub>3</sub> but strongly adsorbed on CoMoS<sub>x</sub>. COS was adsorbed on γ-Al<sub>2</sub>O<sub>3</sub> with a small amount, but not adsorbed on CoMoS<sub>x</sub>.

收稿日期: 2018-08-20。收修改稿日期: 2018-10-19。

\*通信联系人。E-mail:hanshengli@bit.edu.cn,Tel:+86-13691215575

Furthermore, SO<sub>2</sub> adsorbed on CoMoS<sub>x</sub> was active and reacted with CO adsorbed on CoMoS<sub>x</sub>, while SO<sub>2</sub> adsorbed on γ-Al<sub>2</sub>O<sub>3</sub> did not react. Finally, the conversion of SO<sub>2</sub> and the selectivity of sulfur were obtained up to 100% at 400 °C.

**Keywords:** reduction desulfurization; carbon monoxide; sulfur dioxide; cobalt; molybdenum; alumina; adsorption

## 0 引言

随着工业化不断推进,大量工业废气严重污染了空气质量,其中SO<sub>2</sub>是空气主要污染物之一。中国是SO<sub>2</sub>排放的第一大国,大气中90%的SO<sub>2</sub>来自于煤炭的直接燃烧。因此,开发高效清洁的脱硫方法成为研究者广泛关注的领域。利用CO选择性还原SO<sub>2</sub>制单质硫过程,自提出以来受到了研究者们普遍青睐。该方法不仅可以克服目前湿法脱硫过程中所带来的二次污染,而且可以回收烟气中的硫资源,因此一直是环境催化领域的研究热点之一。

根据相关文献报道<sup>[1-4]</sup>,CoMoS<sub>x</sub>/γ-Al<sub>2</sub>O<sub>3</sub>在还原脱硫过程中呈现出优异的催化活性和单质硫选择性。这种催化剂的优势在于反应温度较低,催化活性和选择性高,然而在反应过程中会出现副产物COS<sup>[5-9]</sup>,致使催化剂表面硫元素的流失。因此有必要从CoMoS<sub>x</sub>/γ-Al<sub>2</sub>O<sub>3</sub>入手,开展催化机理研究,探索其结构与性能之间的构效关系。

本研究采用等体积浸渍法与原位还原硫化法相结合制备了CoMoS<sub>x</sub>/γ-Al<sub>2</sub>O<sub>3</sub>催化剂,利用XRD、SEM/EDS、XPS和TPR/TPD/TPSR-MS等表征技术对其结构和表面特性进行了表征,考察了CoMoS<sub>x</sub>/γ-Al<sub>2</sub>O<sub>3</sub>的结构、在催化还原过程中SO<sub>2</sub>和CO的吸附-脱附特性,为高活性、高单质硫选择性、高稳定性的CO选择性还原SO<sub>2</sub>合成单质硫催化剂开发提供基础数据。

## 1 实验部分

### 1.1 催化剂的制备

称取1.950 8 g (NH<sub>4</sub>)<sub>6</sub>Mo<sub>7</sub>O<sub>24</sub>·4H<sub>2</sub>O(国药集团化学试剂有限公司,分析纯)溶于5.75 mL蒸馏水中,10 g γ-Al<sub>2</sub>O<sub>3</sub>(山东瑞鼎科技有限公司)浸渍在该钼酸铵溶液中12 h,经过110 °C干燥12 h,520 °C煅烧12 h(2 °C·min<sup>-1</sup>)后得到MoO<sub>3</sub>/γ-Al<sub>2</sub>O<sub>3</sub>;之后称取1.708 8 g Co(NO<sub>3</sub>)<sub>2</sub>·6H<sub>2</sub>O(国药集团化学试剂有限公司,分析纯)溶于5.75 mL蒸馏水中,将所制备的MoO<sub>3</sub>/γ-Al<sub>2</sub>O<sub>3</sub>在该Co(NO<sub>3</sub>)<sub>2</sub>溶液再浸渍12 h;随后

在110 °C下干燥12 h,520 °C下煅烧12 h(2 °C·min<sup>-1</sup>升温速率),即得到CoMoO<sub>4</sub>/γ-Al<sub>2</sub>O<sub>3</sub>。催化剂中负载量基于金属氧化物计算,负载量为16%(w<sub>MoO<sub>3</sub></sub>/w<sub>γ-Al<sub>2</sub>O<sub>3</sub></sub>)MoO<sub>3</sub>/γ-Al<sub>2</sub>O<sub>3</sub>和4%(w<sub>Co</sub>/w<sub>γ-Al<sub>2</sub>O<sub>3</sub></sub>)CoO-16%(w<sub>MoO<sub>3</sub></sub>/w<sub>γ-Al<sub>2</sub>O<sub>3</sub></sub>)MoO<sub>3</sub>/γ-Al<sub>2</sub>O<sub>3</sub>,分别记为MoO<sub>3</sub>/γ-Al<sub>2</sub>O<sub>3</sub>和CoMoO<sub>4</sub>/γ-Al<sub>2</sub>O<sub>3</sub>。最后,在500 °C,Ar为保护气的条件下,将CoMoO<sub>4</sub>/γ-Al<sub>2</sub>O<sub>3</sub>在10%(V/V)H<sub>2</sub>S/H<sub>2</sub>的混合气中预硫化1 h,制得CoMoS<sub>x</sub>/γ-Al<sub>2</sub>O<sub>3</sub>。

### 1.2 催化剂的表征

XRD测试采用日本理学电机株式会社DMAX-βBX射线仪。Cu Kα辐射( $\lambda=0.154$  nm),石墨单色器,管电压40 kV,管电流100 mA,扫描速度10°·min<sup>-1</sup>,扫描范围2θ=5°~80°。采用日立Hitachi-4800扫描电镜进行SEM/EDS表征,其测试电压为10 kV,工作距离为8 mm左右。对Al、O、Co、Mo和S元素进行了检测。XPS测试在PHI 5000 Versaprobe进行,Al Kα射线( $h\nu=1486.60$  eV),扫描面积0.8 mm<sup>2</sup>,功率250 W,样品室真空度为1.60×10<sup>-6</sup> Pa。各元素的结合能以284.6 eV的C1s电子结合能作为校正标准,对Co、Mo、S、Al、O元素进行全谱测试。

### 1.3 催化剂的吸附-脱附和表面反应性能测试

程序升温脱附/程序升温还原/程序升温表面反应-质谱联用(TPD/TPR/TPSR-MS)在天津先权公司化学动态吸附仪TP-5076上进行,以北京英格海德公司HPR-20质谱仪为检测器。选择质量数为28、44、60和64分别检测CO、CO<sub>2</sub>、COS和SO<sub>2</sub>。样品装填量为0.1 g,在Ar保护下300 °C预处理1 h。

TPD:以5%(V/V)SO<sub>2</sub>/Ar、5%(V/V)CO/Ar和5%(V/V)COS/Ar为原料气,样品吸附饱和后通入Ar气吹扫反应器,最后,在Ar气氛下以10 °C·min<sup>-1</sup>的速率升至700 °C,记录程序升温下CO、CO<sub>2</sub>、COS和SO<sub>2</sub>的脱附情况。

TPR:于5%(V/V)CO/Ar气氛下以10 °C·min<sup>-1</sup>的速率升至700 °C,记录程序升温下CO、CO<sub>2</sub>、COS和SO<sub>2</sub>随着温度的变化。

(SO<sub>2</sub>+CO)-TPSR:通入5%(V/V)SO<sub>2</sub>/Ar至样品吸附饱和,之后通入Ar气吹扫;最后,在5%(V/V)CO

Ar 气氛下以  $10\text{ }^{\circ}\text{C}\cdot\text{min}^{-1}$  的恒定速率升至  $700\text{ }^{\circ}\text{C}$ ，记录 CO、CO<sub>2</sub>、COS 和 SO<sub>2</sub> 的含量随着温度的变化。

(CO+SO<sub>2</sub>)-TPSR: 通入 5%(V/V) CO/Ar 至样品吸附饱和, 之后通入 Ar 气吹扫, 最后, 在 5%(V/V) SO<sub>2</sub>/Ar 气氛下以  $10\text{ }^{\circ}\text{C}\cdot\text{min}^{-1}$  的恒定速率升至  $700\text{ }^{\circ}\text{C}$ ，记录 CO、CO<sub>2</sub>、COS 和 SO<sub>2</sub> 的含量随着温度的变化。

#### 1.4 微型反应性能评价

在微型反应器中装入 0.4 g CoMoS<sub>x</sub>/ $\gamma$ -Al<sub>2</sub>O<sub>3</sub> 催化剂, 之后通入浓度为(0.5%(V/V)SO<sub>2</sub>+1%(V/V)CO)/Ar 的气体, 在 200~400 °C 下进行活性测试。选择质量数为 28, 44, 60 和 64 分别检测 CO、CO<sub>2</sub>、COS 和 SO<sub>2</sub>。根据检测结果计算得到 SO<sub>2</sub> 的转化率、COS 的选择性、硫单质的选择性和硫单质的产率。 $C_{\text{SO}_2}^{\text{in}}$  代表 SO<sub>2</sub> 的进口浓度,  $C_{\text{SO}_2}^{\text{out}}$  代表 SO<sub>2</sub> 的出口浓度,  $C_{\text{cos}}^{\text{out}}$  代表 COS 的出口浓度。计算方法如下:

$$\text{Conversion of SO}_2 = (C_{\text{SO}_2}^{\text{in}} - C_{\text{SO}_2}^{\text{out}}) / C_{\text{SO}_2}^{\text{in}} \times 100\% \quad (1)$$

$$\text{SO}_2 \text{ selectivity to sulfur} = (C_{\text{SO}_2}^{\text{in}} - C_{\text{SO}_2}^{\text{out}} - C_{\text{cos}}^{\text{out}}) / (C_{\text{SO}_2}^{\text{in}} - C_{\text{SO}_2}^{\text{out}}) \times 100\% \quad (2)$$

$$\text{Sulfur yield} = (C_{\text{SO}_2}^{\text{in}} - C_{\text{SO}_2}^{\text{out}} - C_{\text{cos}}^{\text{out}}) / C_{\text{SO}_2}^{\text{in}} \times 100\% \quad (3)$$

$$\text{COS selectivity} = C_{\text{cos}}^{\text{out}} / (C_{\text{SO}_2}^{\text{in}} - C_{\text{SO}_2}^{\text{out}}) \times 100\% \quad (4)$$

## 2 结果与讨论

### 2.1 CoMoS<sub>x</sub>/ $\gamma$ -Al<sub>2</sub>O<sub>3</sub> 的表征

图 1 为  $\gamma$ -Al<sub>2</sub>O<sub>3</sub>、CoMoO<sub>4</sub>/ $\gamma$ -Al<sub>2</sub>O<sub>3</sub> 和 CoMoS<sub>x</sub>/ $\gamma$ -Al<sub>2</sub>O<sub>3</sub> 的 XRD 图。

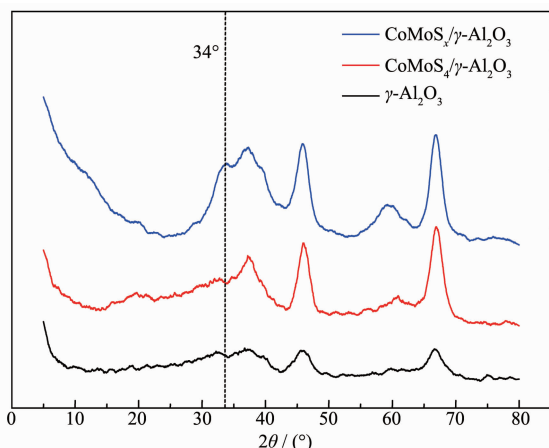
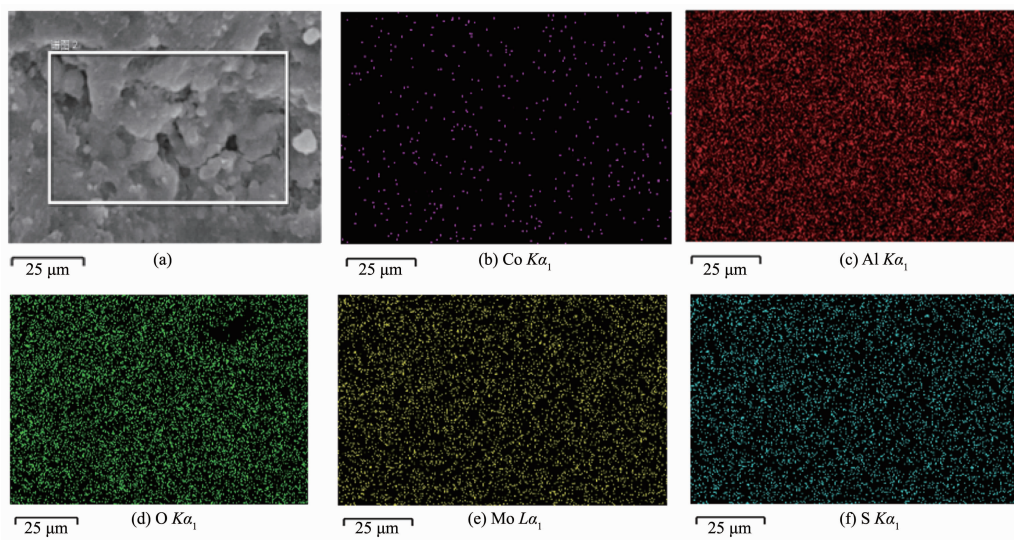


图 1  $\gamma$ -Al<sub>2</sub>O<sub>3</sub>、CoMoO<sub>4</sub>/ $\gamma$ -Al<sub>2</sub>O<sub>3</sub> 和 CoMoS<sub>x</sub>/ $\gamma$ -Al<sub>2</sub>O<sub>3</sub> 的 XRD 图

Fig.1 XRD patterns of  $\gamma$ -Al<sub>2</sub>O<sub>3</sub>, CoMoO<sub>4</sub>/ $\gamma$ -Al<sub>2</sub>O<sub>3</sub> and CoMoS<sub>x</sub>/ $\gamma$ -Al<sub>2</sub>O<sub>3</sub>

Al<sub>2</sub>O<sub>3</sub> 的 XRD 图。由图可知, CoMoO<sub>4</sub>/ $\gamma$ -Al<sub>2</sub>O<sub>3</sub> 存在明显的  $\gamma$ -Al<sub>2</sub>O<sub>3</sub> 的( $2\theta=37^\circ, 46^\circ, 67^\circ$ )衍射峰<sup>[10]</sup>, 并未出现 CoO、MoO<sub>3</sub> 的晶相, 可见 CoO、MoO<sub>3</sub> 在硫化前样品中分散均匀。CoMoO<sub>4</sub>/ $\gamma$ -Al<sub>2</sub>O<sub>3</sub> 经硫化后 CoMoS<sub>x</sub>/ $\gamma$ -Al<sub>2</sub>O<sub>3</sub> 中  $\gamma$ -Al<sub>2</sub>O<sub>3</sub> 晶相并未发生明显变化, 也没有出现 CoO、MoO<sub>3</sub>、Co<sub>9</sub>S<sub>8</sub> 和 CoS<sub>2</sub> 的衍射峰, 只有在  $2\theta=34^\circ$  时有明显的 MoS<sub>2</sub> 峰。这说明催化剂在硫化过程中并没有形成有序的晶型。

图 2 是预硫化后 CoMoS<sub>x</sub>/ $\gamma$ -Al<sub>2</sub>O<sub>3</sub> 的 SEM/EDS 图。从 SEM 可以看出, 催化剂并没有出现规则的形貌。EDS 谱图表明元素分布较为均匀。尽管硫化温度较高, 表面的 Co 和 Mo 也没有发生团聚, 硫元素



(a) SEM image; (b) Co; (c) Al; (d) O; (e) Mo; (f) S

图 2 CoMoS<sub>x</sub>/ $\gamma$ -Al<sub>2</sub>O<sub>3</sub> 的 SEM/EDS 图

Fig.2 SEM/EDS images of CoMoS<sub>x</sub>/ $\gamma$ -Al<sub>2</sub>O<sub>3</sub>

也均匀地分散在表面。以上表明采用等体积浸渍法可以获得高分散的 CoMoS<sub>x</sub>/γ-Al<sub>2</sub>O<sub>3</sub> 催化剂。

图 3(a)为催化剂 CoMoS<sub>x</sub>/γ-Al<sub>2</sub>O<sub>3</sub> 上 Mo 物种的 XPS 图谱。由图 3(a)和表 1 可以看出, 催化剂中 Mo 物种的电子结合能 228.98 和 232.40 eV 处的谱峰分别归属于 Mo<sup>4+</sup>3d<sub>5/2</sub> 和 Mo<sup>4+</sup>3d<sub>3/2</sub>, 主要对应 MoS<sub>2</sub> 和 CoMoS, 所占百分比为 37.91% 和 20.02%; 231.30 和 234.27 eV 处的谱峰归属于 Mo<sup>5+</sup>3d<sub>5/2</sub> 和 Mo<sup>5+</sup>3d<sub>3/2</sub>, 对应 Mo<sub>2</sub>O<sub>5</sub> 和 MoO<sub>x</sub>S<sub>y</sub>, 所占百分比为 0.15% 和 0.95%; 231.87 和 235.02 eV 处的谱峰分别归属于 Mo<sup>6+</sup>3d<sub>5/2</sub> 和 Mo<sup>6+</sup>3d<sub>3/2</sub>, 对应未被硫化的 MoO<sub>3</sub>, 所占百分比为 40.97%, 这说明催化剂中 Mo 的硫化物占总 Mo 含量的 57.93%, 其他的 Mo 并未硫化。电子结合能 225.80 eV 处的峰则归属于 S2s 的特征结合能, 在图中出现是因为 S2s 的峰位置与 Mo<sup>4+</sup>3d<sub>5/2</sub> 邻近<sup>[12]</sup>。

催化剂 Co2p<sub>3/2</sub> 的 XPS 表征结果如图 3(b)所示。

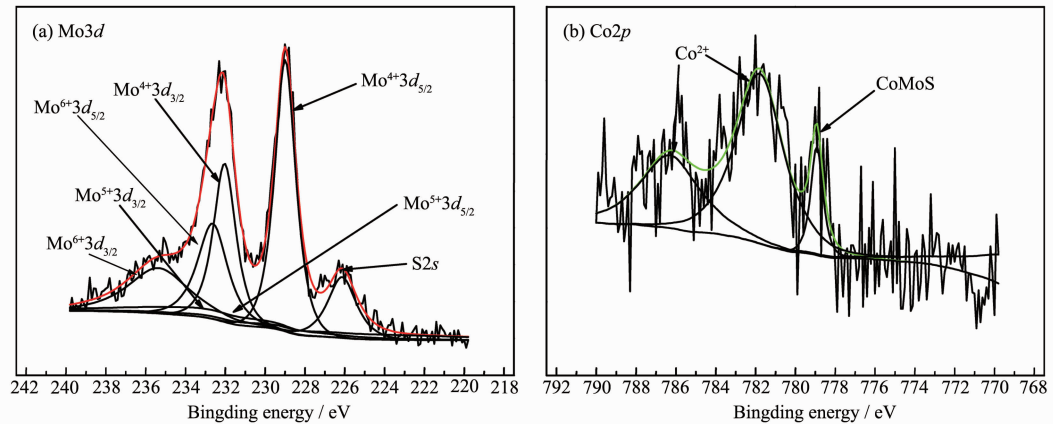


图 3 催化剂 CoMoS<sub>x</sub>/γ-Al<sub>2</sub>O<sub>3</sub> 的 XPS 图谱

Fig.3 XPS spectra of CoMoS<sub>x</sub>/γ-Al<sub>2</sub>O<sub>3</sub>

## 2.2 CoMoS<sub>x</sub>/γ-Al<sub>2</sub>O<sub>3</sub> 的 TPD/TPR/TPSR-MS 分析

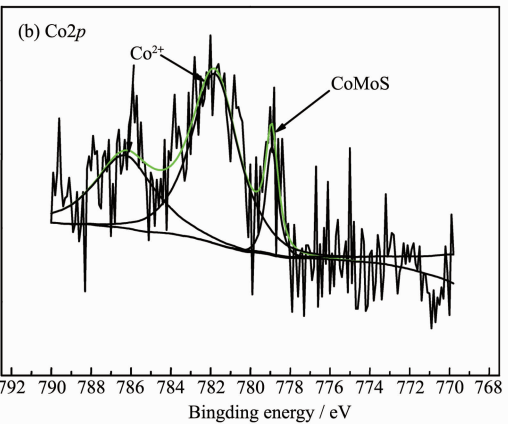
图 4 为 γ-Al<sub>2</sub>O<sub>3</sub>、CoMoS<sub>x</sub>/γ-Al<sub>2</sub>O<sub>3</sub> 的 SO<sub>2</sub>-TPD 和 CoMoS<sub>x</sub>/γ-Al<sub>2</sub>O<sub>3</sub> 的热分解图, 同时显示了 CoMoS<sub>x</sub>/γ-Al<sub>2</sub>O<sub>3</sub> 高温分解曲线。由图 4 可知, SO<sub>2</sub> 会吸附在 γ-Al<sub>2</sub>O<sub>3</sub> 和 CoMoS<sub>x</sub>/γ-Al<sub>2</sub>O<sub>3</sub> 上。从 30 °C 开始升温, SO<sub>2</sub> 会随着温度的升高逐渐脱附。在 γ-Al<sub>2</sub>O<sub>3</sub>(黑色曲线)有 1 个脱附峰, 峰面积较大, 说明 SO<sub>2</sub> 的吸附量较多, 这主要是因为 γ-Al<sub>2</sub>O<sub>3</sub> 表面的 L 酸位吸附 SO<sub>2</sub>。在 CoMoS<sub>x</sub>/γ-Al<sub>2</sub>O<sub>3</sub> 催化剂(蓝色曲线)上有 2 个脱附峰, 分别位于 50 和 420 °C 左右。50 °C 左右的脱附峰为吸附在 γ-Al<sub>2</sub>O<sub>3</sub> 上的 SO<sub>2</sub> 的脱附所致, 属于弱吸附作用, 与 γ-Al<sub>2</sub>O<sub>3</sub> 相比其脱附量明显减小。这说明 CoMoS<sub>x</sub> 覆盖了大部分 γ-Al<sub>2</sub>O<sub>3</sub> 的 L 酸位。420 °C 左右的脱附峰是 CoMoS<sub>x</sub> 上吸附的 SO<sub>2</sub> 脱附(属于强吸

对谱图进行分峰拟合, 电子结合能 778.92 eV 处的谱峰归属于 CoMoS 活性相, 781.79 和 786.29 eV 处的谱峰归属于氧化态的 Co。由图 3(b)可见, 催化剂中并没有出现 Co<sub>9</sub>S<sub>8</sub>(778.0 eV)<sup>[13]</sup>的归属峰, 在硫化过程中也并没有形成其他的 Co 的硫化相, 而 Co 氧化物的出现可能是因为样品的转移导致 Co 被空气中的氧气氧化<sup>[13-14]</sup>。

表 1 CoMoS<sub>x</sub>/γ-Al<sub>2</sub>O<sub>3</sub> 中 Mo3d 的 XPS 能谱分析结果

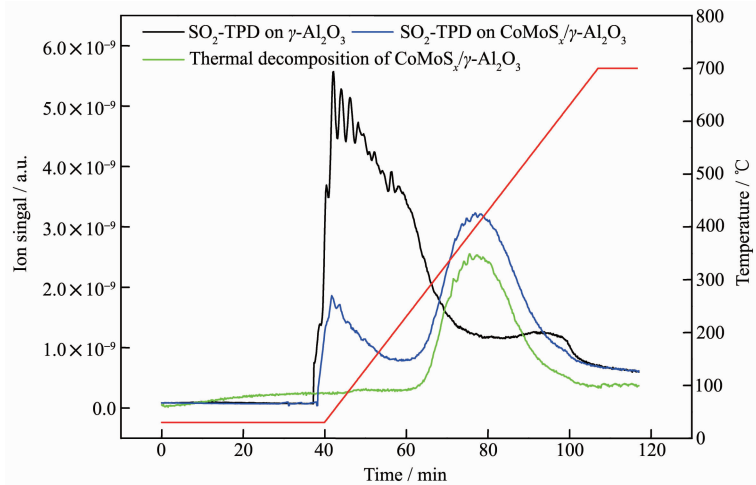
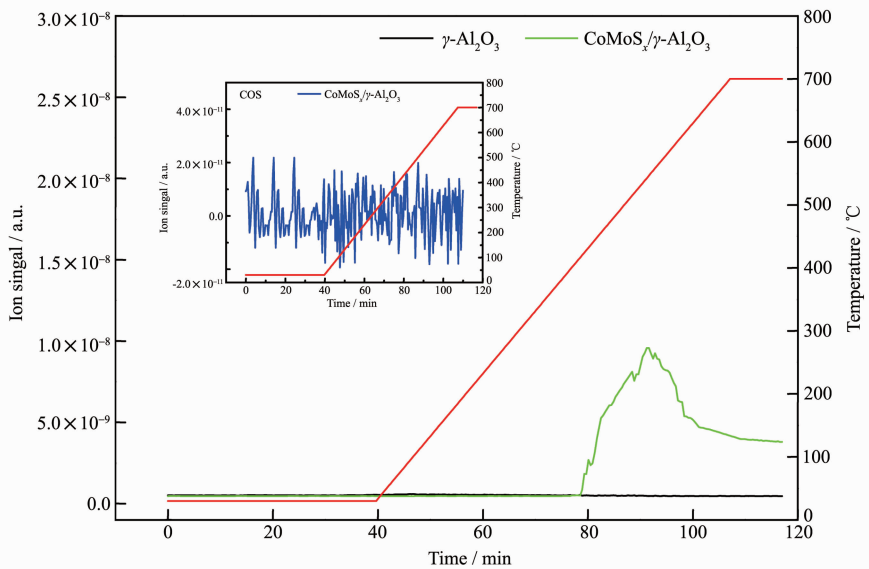
Table 1 XPS spectra analysis results of Mo3d in CoMoS<sub>x</sub>/γ-Al<sub>2</sub>O<sub>3</sub>

Mo3d	Atomic fraction / %
MoS <sub>2</sub>	37.91
CoMoS	20.02
Mo <sub>2</sub> O <sub>5</sub>	0.15
MoO <sub>x</sub> S <sub>y</sub>	0.95
MoO <sub>3</sub>	40.97



附作用)或分解产生的 SO<sub>2</sub> 所致。为了验证该峰的归属, 考察了未吸附 SO<sub>2</sub> 的 CoMoS<sub>x</sub>/γ-Al<sub>2</sub>O<sub>3</sub> 在 Ar 气氛下的分解情况(绿色曲线)。可以发现 CoMoS<sub>x</sub>/γ-Al<sub>2</sub>O<sub>3</sub> 并没有完全被硫化, 温度高于 400 °C 时, CoMoS<sub>x</sub> 会迅速分解, 与表面的氧形成 SO<sub>2</sub>, 然而该脱附峰面积明显低于吸附 SO<sub>2</sub> 的 CoMoS<sub>x</sub>/γ-Al<sub>2</sub>O<sub>3</sub> 脱附量。综上, 在 CoMoS<sub>x</sub>/γ-Al<sub>2</sub>O<sub>3</sub> 催化剂上, γ-Al<sub>2</sub>O<sub>3</sub> 对 SO<sub>2</sub> 有弱吸附作用, CoMoS<sub>x</sub> 有强吸附作用, 温度高于 400 °C 时, 表面 S 容易以 SO<sub>2</sub> 的形式流失。

图 5 为 γ-Al<sub>2</sub>O<sub>3</sub> 和 CoMoS<sub>x</sub>/γ-Al<sub>2</sub>O<sub>3</sub> 的 CO-TPD 图。由图 5 可知, 随着温度的升高, γ-Al<sub>2</sub>O<sub>3</sub> 始终没有出现 CO 的脱附, 证明 CO 几乎不会吸附在 γ-Al<sub>2</sub>O<sub>3</sub> 上。而在 CoMoS<sub>x</sub>/γ-Al<sub>2</sub>O<sub>3</sub> 上, 从 400 °C 左右 CO 会开始脱附, 这说明 CoMoS<sub>x</sub> 会吸附 CO, 且属于强吸附

图 4  $\gamma\text{-Al}_2\text{O}_3$ 、 $\text{CoMoS}_x/\gamma\text{-Al}_2\text{O}_3$  的  $\text{SO}_2\text{-TPD}$  和  $\text{CoMoS}_x/\gamma\text{-Al}_2\text{O}_3$  的热分解图Fig.4  $\text{SO}_2\text{-TPD}$  of  $\gamma\text{-Al}_2\text{O}_3$ ,  $\text{CoMoS}_x/\gamma\text{-Al}_2\text{O}_3$  and thermal decomposition of  $\text{CoMoS}_x/\gamma\text{-Al}_2\text{O}_3$ 图 5  $\gamma\text{-Al}_2\text{O}_3$  和  $\text{CoMoS}_x/\gamma\text{-Al}_2\text{O}_3$  的 CO-TPD 图Fig.5 CO-TPD of  $\gamma\text{-Al}_2\text{O}_3$  and  $\text{CoMoS}_x/\gamma\text{-Al}_2\text{O}_3$ 

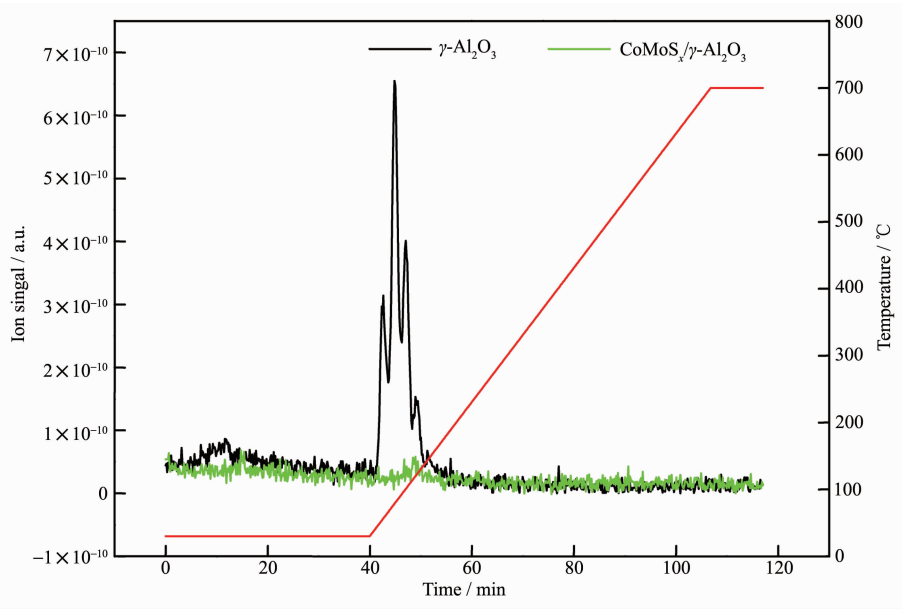
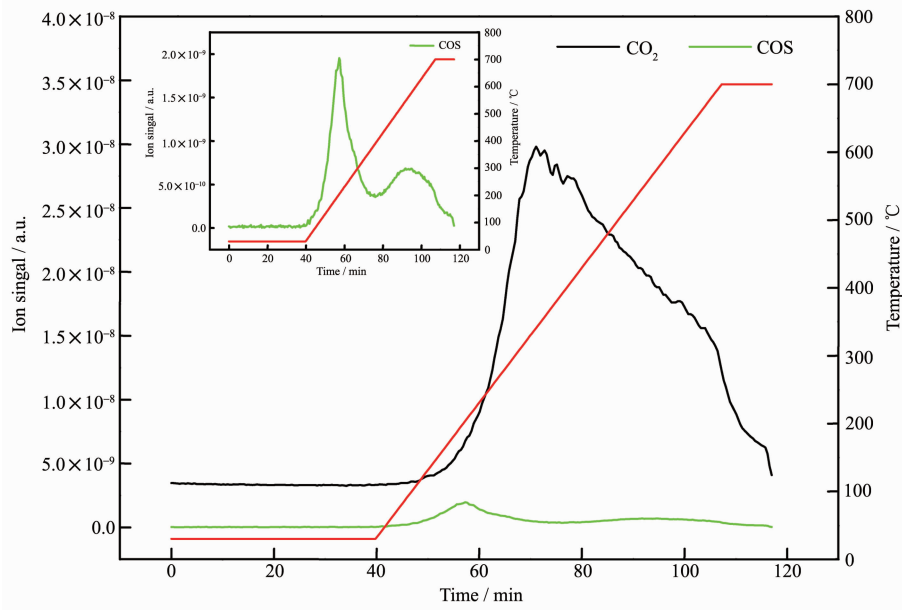
作用。在脱附的过程中，并不会有 COS 出现，说明 CO 的脱附属于可逆脱附过程。

图 6 是  $\gamma\text{-Al}_2\text{O}_3$ 、 $\text{CoMoS}_x/\gamma\text{-Al}_2\text{O}_3$  的 COS-TPD 图。如图 6 所示，COS 会吸附在  $\gamma\text{-Al}_2\text{O}_3$  上，但根据信号强度判断，COS 的吸附量较少。从 30 ℃开始升温，COS 会随着温度的升高逐渐脱附，在 200 ℃左右 COS 几乎脱附完全，这说明 COS 在  $\gamma\text{-Al}_2\text{O}_3$  上为弱吸附作用。 $\text{CoMoS}_x/\gamma\text{-Al}_2\text{O}_3$  催化剂对 COS 会有微量的吸附，因为  $\text{CoMoS}_x$  覆盖了大部分的酸位，所以导致 COS 吸附量很少。

图 7 是  $\text{CoMoS}_x/\gamma\text{-Al}_2\text{O}_3$  的 CO-TPR 图。从图 7 中可以看出  $\text{CO}_2$  的含量会在 180 ℃时开始发生明

显地变化，含量随着温度的升高而逐渐升高，这进一步证明  $\text{CoMoS}_x/\gamma\text{-Al}_2\text{O}_3$  并没有被完全硫化。在程序升温的过程中，COS 会出现 2 个脱附峰，COS 的第 1 个脱附峰较大，第 2 个脱附峰较小。在 40 ℃时 COS 开始出现，在 200 ℃时脱附量达到最大，390 ℃时信号值接近噪音。随着温度的继续升高，COS 的信号值又开始加强，560 ℃到达最大值，随后开始下降。出现 2 个脱附峰说明大部分的硫在催化剂表面，而另一部分硫进入到晶格当中。

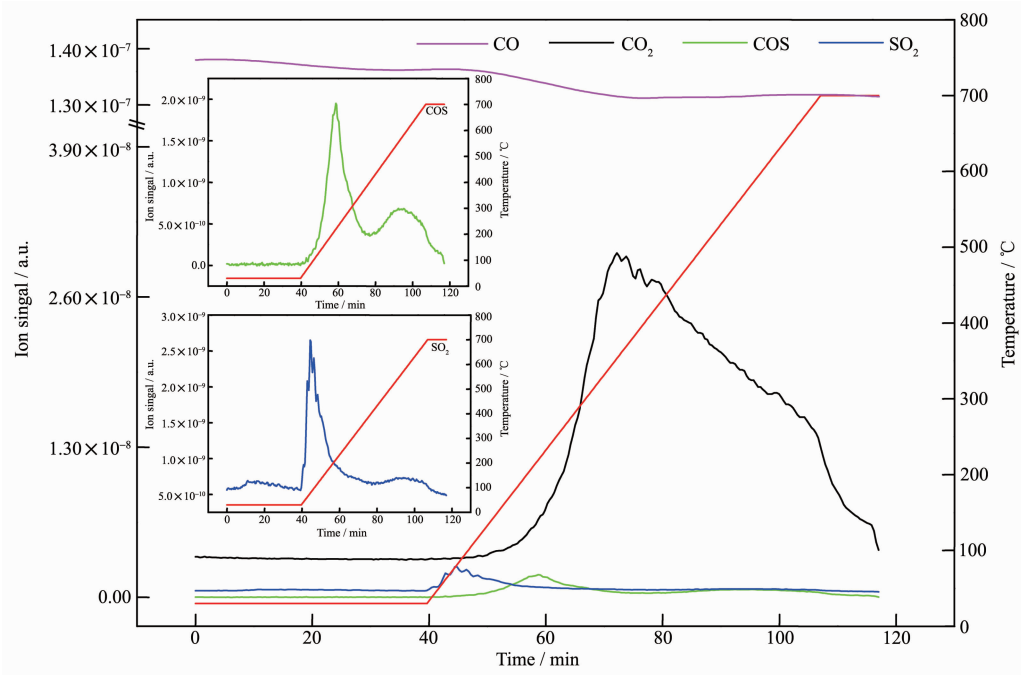
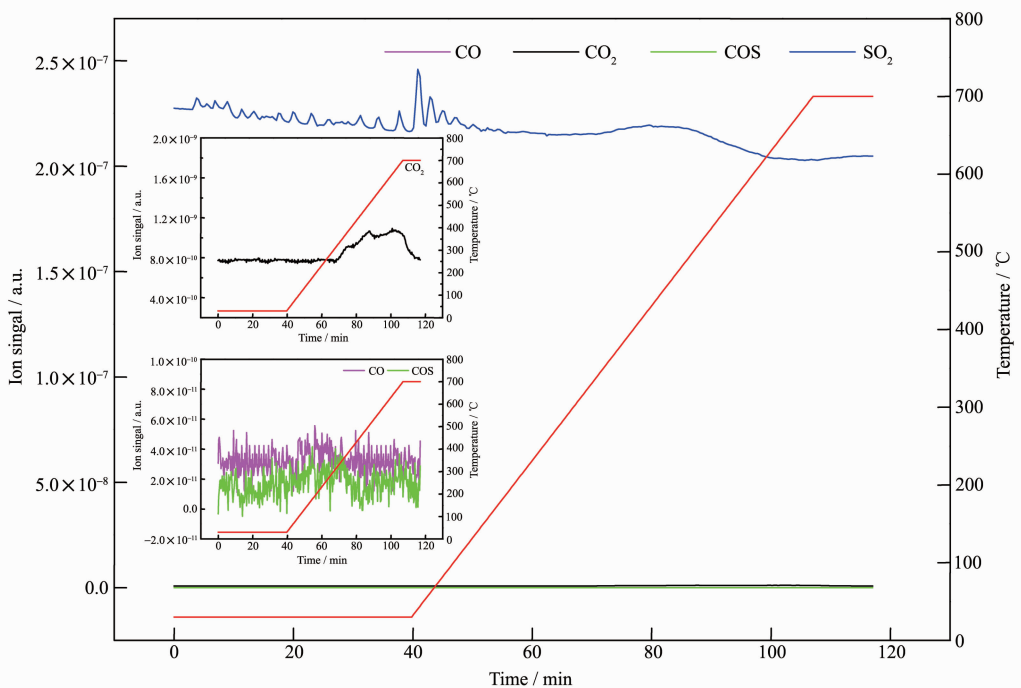
图 8 是  $\text{CoMoS}_x/\gamma\text{-Al}_2\text{O}_3$  的  $(\text{SO}_2+\text{CO})\text{-TPSR}$  图。如图 8 所示，CO 的曲线在 125 ℃时逐渐下降，在 380 ℃以后达到平稳，说明 CO 在 125 ℃以后开始消耗。

图 6  $\gamma\text{-Al}_2\text{O}_3$  和  $\text{CoMoS}_x/\gamma\text{-Al}_2\text{O}_3$  的 COS-TPD 图Fig.6 COS-TPD of  $\gamma\text{-Al}_2\text{O}_3$  and  $\text{CoMoS}_x/\gamma\text{-Al}_2\text{O}_3$ 图 7  $\text{CoMoS}_x/\gamma\text{-Al}_2\text{O}_3$  的 CO-TPR 图Fig.7 CO-TPR of  $\text{CoMoS}_x/\gamma\text{-Al}_2\text{O}_3$ 

通过与图 3 对比后发现,  $\text{SO}_2$  在  $\text{CoMoS}_x/\gamma\text{-Al}_2\text{O}_3$  催化剂的第 1 个脱附峰依然会出现, 而第 2 个脱附峰接近消失, 这说明 CO 不会在较低温度时与吸附在  $\gamma\text{-Al}_2\text{O}_3$  上的  $\text{SO}_2$  反应, 而是与吸附在  $\text{CoMoS}_x/\gamma\text{-Al}_2\text{O}_3$  上的  $\text{SO}_2$  发生反应。由此也可以推断,  $\text{SO}_2$  与 CO 的最佳反应温度在 350~430 °C 之间; 通过对 CO-TPR 和  $(\text{SO}_2+\text{CO})\text{-TPSR}$  的  $\text{CO}_2$  信号强度可知,  $\text{CO}_2$  的生成量增加, 证明 CO 转化为  $\text{CO}_2$ 。 $(\text{SO}_2+\text{CO})\text{-TPSR}$  中 COS 的变化趋势与 CO-TPR 中 COS 的变

化趋势相同。

图 9 是  $\text{CoMoS}_x/\gamma\text{-Al}_2\text{O}_3$  的  $(\text{CO}+\text{SO}_2)\text{-TPSR}$  图。如图 9 所示, CO 和 COS 的曲线不随温度的升高而发生变化, 信号值接近噪音, 说明 CO 和 COS 几乎不存在, 而  $\text{CO}_2$  会在 350 °C 开始上升, 在 700 °C 之后开始下降, 这说明 CO 并没有脱附, 而是生成了  $\text{CO}_2$ , 这与  $(\text{SO}_2+\text{CO})\text{-TPSR}$  的结论相同, 进一步证明 CO 参与了  $\text{SO}_2$  的还原反应, 反应温度在 350 °C 以上。

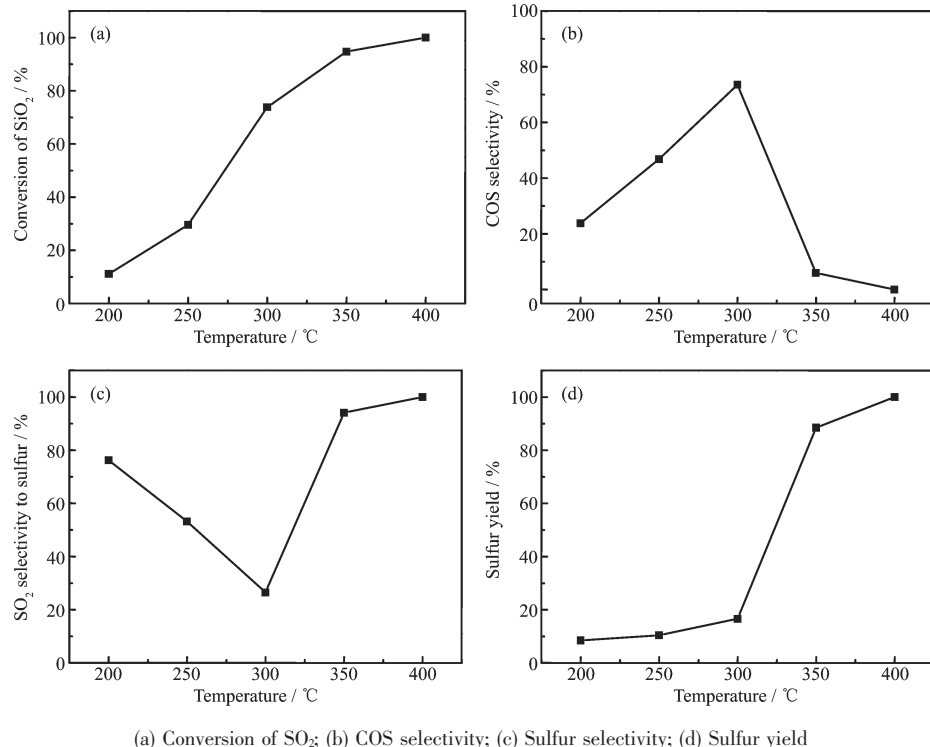
图 8  $\text{CoMoS}_x/\gamma\text{-Al}_2\text{O}_3$  的( $\text{SO}_2+\text{CO}$ )-TPSR 图Fig.8 ( $\text{SO}_2+\text{CO}$ )-TPSR of  $\text{CoMoS}_x/\gamma\text{-Al}_2\text{O}_3$ 图 9  $\text{CoMoS}_x/\gamma\text{-Al}_2\text{O}_3$  的( $\text{CO}+\text{SO}_2$ )-TPSR 图Fig.9 ( $\text{CO}+\text{SO}_2$ )-TPSR of  $\text{CoMoS}_x/\gamma\text{-Al}_2\text{O}_3$ 

### 2.3 $\text{CoMoS}_x/\gamma\text{-Al}_2\text{O}_3$ 的催化活性和选择性

图 10 是  $\text{CoMoS}_x/\gamma\text{-Al}_2\text{O}_3$  的催化活性曲线。如图 10(a)所示,  $\text{SO}_2$  的转化率会随着温度的升高而逐渐升高。当温度在 300 °C 以下时,  $\text{SO}_2$  的转化率较低; 当温度为 300 和 350 °C 时,  $\text{SO}_2$  的转化率分别为

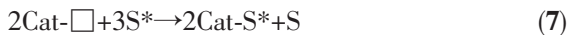
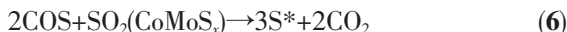
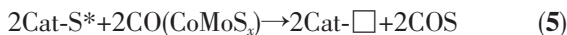
73.82% 和 94.71%; 而温度为 400 °C 时,  $\text{SO}_2$  的转化率为 100%。

根据图 10(b,c)可知, COS 是反应的中间产物, 随着温度逐渐升高, COS 的选择性在 300 °C 之前逐渐升高,  $\text{SO}_2$  生成硫单质的选择性逐渐降低, 而温度

(a) Conversion of SO<sub>2</sub>; (b) COS selectivity; (c) Sulfur selectivity; (d) Sulfur yield图 10 CoMoS<sub>x</sub>/γ-Al<sub>2</sub>O<sub>3</sub> 的催化活性和选择性Fig.10 Catalytic activity of CoMoS<sub>x</sub>/γ-Al<sub>2</sub>O<sub>3</sub>

高于 300 °C 时, COS 的选择性逐渐降低, 硫单质的选择性逐渐升高。在 350 °C 时,COS 的选择性为 5.90%, 硫单质的选择性为 94.10%, 在 400 °C 时,COS 的选择性接近 0, 硫单质的选择性接近 100%。由 COS 的选择性随温度的变化趋势、CO-TPR 和 (SO<sub>2</sub>+CO)-TPSR 可以判断, CO 首先与 CoMoS<sub>x</sub>/γ-Al<sub>2</sub>O<sub>3</sub> 催化剂表面的硫反应, 生成 COS, 之后 COS 与吸附在 CoMoS<sub>x</sub> 表面的 SO<sub>2</sub> 反应生成硫单质和 CO<sub>2</sub>。当温度低于 300 °C 时, COS 和 SO<sub>2</sub> 的反应速率较慢; 而温度在 350 °C 以上时, COS 和 SO<sub>2</sub> 的反应很快, 在 400 °C 时反应完全。催化剂表面硫和晶格硫都会参与反应,COS 的选择性接近 0 时是晶格硫参与反应。

图 10(d) 为硫单质的产率随温度的变化趋势图。在 300 °C 之前, 因为 COS 的选择性较低, 所以硫单质的产率较低, 低于 20%; 当温度为 350 和 400 °C 时, 以硫单质的产率分别为 88.46% 和 100%。所以在 400 °C 时反应活性最高。其反应机理如下:



□为晶格硫缺位,S\*为晶格硫。

### 3 结 论

以上结果表明:(1) CoMoS<sub>x</sub>/γ-Al<sub>2</sub>O<sub>3</sub> 催化剂由 γ-Al<sub>2</sub>O<sub>3</sub> 和 Co-Mo-S 组成, 且硫化并不完全, 硫化后不会出现 CoS<sub>2</sub> 和 Co<sub>9</sub>S<sub>8</sub> 等硫化物;(2) CO 吸附在 CoMoS<sub>x</sub> 上, 会生成中间物 COS; 吸附在 γ-Al<sub>2</sub>O<sub>3</sub> 和 CoMoS<sub>x</sub> 上的 SO<sub>2</sub> 都会与 COS 反应;(3) CoMoS<sub>x</sub>/γ-Al<sub>2</sub>O<sub>3</sub> 催化剂的硫流失主要是因为 COS 在低温下不会与 SO<sub>2</sub> 充分反应;(4) CoMoS<sub>x</sub>/γ-Al<sub>2</sub>O<sub>3</sub> 催化剂在 CO 催化还原 SO<sub>2</sub> 制硫单质的反应中具备优异的催化活性和选择性, 在 400 °C 时, SO<sub>2</sub> 的转化率、硫单质的选择性和硫单质的产率都接近 100%。

### 参考文献:

- [1] Zhuang S X, Magara H, Yamazaki M, et al. *Appl. Catal., B*, **2000**, *24*(2):89-96
- [2] Zhuang S X, Magara H, Yamazaki M, et al. *Appl. Catal., B*, **2001**, *31*(2):133-143
- [3] ZHANG Wen-Hua(张文华), PENG Jiang-Jie(彭江杰), MA Yun-Sheng(马运生), et al. *Acta Phys.-Chim. Sin.(物理化学学报)*, **2002**, *18*(10):901-906
- [4] Zhao H T, Luo X, He J, et al. *Fuel*, **2015**, *147*(3):67-75

- [5] Kim H, Park D W, Woo H C, et al. *Appl. Catal., B*, **1998**,**19**(3/4):233-243
- [6] Wang X H, Wang A Q, Li N, et al. *Ind. Eng. Chem. Res.*, **2006**,**45**(13):4582-4588
- [7] Lee H M, Han J D. *Ind. Eng. Chem. Res.*, **2002**,**41**(11):2623-2629
- [8] Han G B, Park N K, Yoon S H, et al. *Chemosphere*, **2008**,**72**(11):1744-1750
- [9] Lau N T, Fang M, Chan C K, et al. *J. Mol. Catal. A: Chem.*, **2003**,**203**(1):221-229
- [10] CHEN Ji-Zhou(陈济舟), WANG Jun-Qiao(王俊桥), LI Han(李汉). *Acta Phys.-Chim. Sin.(物理化学学报)*, **1992**,**8**(3):429-431
- [11] QIU L M, Xu G T. *Appl. Surf. Sci.*, **2010**,**256**(11):3413-3417
- [12] Wang C M, Tsai T C, Wang I. *J. Catal.*, **2009**,**262**(2):206-214
- [13] SHI Yu(时毓), YU Jin-Hai(于津海), XU Xi-Sheng(徐夕生), et al. *Acta Petrologica Sinica(岩石学报)*, **2011**,**27**(10):3095-3108
- [14] QIU Li-Mei(邱丽美), XU Guang-Tong(徐广通). *Spectrosc. Spectr. Anal(光谱学与光谱分析)*, **2015**,**35**(12):3514-3518